- Hussein H.M.S. Transient investigation of a two phase closed thermosyphon flat plate solar water heater // Energy Conversion and Management. – 2002. – № 43. – P. 2479–2492.
- Desrayaud G., Fichera A., Marcoux M. Numerical investigation of natural circulation in a 2D-annular closed loop thermosyphon // International Journal of Heat and Fluid Flow. – 2006. – V. 27. – № 1. – P. 154–166.
- Liaqat A., Baytas A.C. Numerical comparison of conjugate and nonconjugate natural convection for internally heated semi-circular pools // International Journal of Heat and Fluid Flow. – 2001. – V. 22. – № 12. – P. 650–656.
- Кузнецов Г.В., Аль-Ани М.А., Шеремет М.А. Численный анализ влияния температурного перепада на режимы переноса энергии в замкнутом двухфазном цилиндрическом термос-

- ифоне // Известия Томского политехнического университета. -2010. Т. 317. № 4. С. 13-19.
- 15. Kuznetsov G.V., Sitnikov A.E. Numerical analysis of basic regularities of heat and mass transfer in a high-temperature heat pipe // High temperature. 2002. V. 40. № 6. P. 898–904.
- Роуч П. Вычислительная гидродинамика. М.: Мир, 1980. 616 с.
- Самарский А.А. Теория разностных схем. М.: Наука, 1977. 656 с.
- Пасконов В.М., Полежаев В.И., Чудов Л.А. Численное моделирование процессов тепло- и массообмена. М.: Наука, 1984. 288 с.

Поступила 02.02.2011 г.

УДК 53.082.2:550.3

ЧИСЛЕННОЕ МОДЕЛИРОВАНИЕ РАБОТЫ КОНВЕКТИВНОГО ДАТЧИКА ПРИ ДЕЙСТВИИ ЦЕНТРОБЕЖНОЙ СИЛЫ

И.А. Бабушкин, В.А. Демин, Д.В. Пепеляев

Пермский государственный университет E-mail: demin@psu.ru

Проведено численное моделирование отклика конвективного датчика инерционных ускорений на действие центробежной силы. Описано основное течение в виде пульсирующего конвективного факела и его кризис при определенной частоте вращения. Показано, что непрерывное изменение величины центробежной силы дает возможность постепенно наклонять конвективный факел в плоскости широких граней полости. С помощью воздействия центробежной силы выяснено оптимальное расположение термопар в рабочей камере датчика с учетом наличия осложняющих факторов, связанных с неизбежным несовершенством экспериментальной установки.

Ключевые слова:

Тепловая конвекция, ячейка Хеле-Шоу, центробежная сила, конвективный факел, численное моделирование.

Key words:

Thermal convection, Hele-Shaw cell, centrifugal force, convective tail, numerical modeling.

Введение

Вращение в большинстве случаев значительно усложняет поведение конвективных систем [1-3]. Даже самое простое вращательное движение с постоянной угловой скоростью отражается на течении вследствие добавления к действующим массовым силам дополнительных сил инерции. Действие этих сил (кориолисовой и центробежной) приводит к тому, что даже в типичных условиях тепловая конвекция по причине присущих ей объемных неоднородностей полей скорости и температуры имеет, как правило, трехмерный характер. Если конвективная система находится вблизи или на оси вращения, и величина угловой скорости невелика, то центробежной силой чаще всего можно пренебречь в силу ее малости по сравнению с силой Кориолиса [4]. Однако бывает так, что центробежная сила является неотъемлемым дополнительным фактором, влияющим на конвекцию, или ее действие технологически оказывается востребованным. Например, когда некоторый процесс для своей реализации требует постепенного монотонного изменения подъемной силы в условиях фиксированного нагрева. Такая необходимость возникает при калибровке приборов, рабочим телом которых является неоднородно нагретая жидкость [5, 6].

Активное управление величиной результирующей подъемной силы можно организовать за счет постепенного «включения» центробежной силы. В [6, 7] представлены результаты экспериментов и проведено теоретическое обоснование идеи создания датчика на основе ячейки Хеле-Шоу, позволяющего регистрировать ограниченные по времени вибрационные сигналы и восстанавливать их исходные характеристики. В экспериментах особое внимание уделялось тестированию прибора на возможность возникновения различных нежелательных режимов конвекции, влияющих на показания. В частности, исследования выявили наличие дополнительных функциональных возможностей, позволяющих датчику регистрировать продолжительные по времени монотонные инерционные воздействия. Для определения новых возможных областей применения датчика было решено провести эксперименты по влиянию вращения на конвективные течения, что, в свою очередь, повлекло за собой необходимость детального теоретического исследования устойчивости конвективных режимов в ячейке Хеле—Шоу при действии центробежных сил.

Постановка задачи

Рабочая полость представляет собой прямоугольный параллелепипед, верхняя и нижняя узкие грани которого играют роль нагревателя и холодильника. По причине конструктивных особенностей датчика подогрев осуществляется снизу точечным источником тепла. Температура нагревателя периодически меняется в зависимости от времени, что создает течение в полости в виде пульсирующего конвективного факела чрезвычайно чувствительного по отношению к внешним инерционным воздействиям. В опытах датчик устанавливался в корзине вращательной установки на достаточно большом расстоянии от оси вращения, так что вклад центробежной силы в результирующее ускорение был существенным. Конвективная камера жестко прикреплялась к корзине, поэтому при повороте вращательной установки на угол 2π полость совершала один полный оборот вокруг своей оси.

С целью минимизации действия силы Кориолиса и выполнения приближения плоских траекторий, датчик всегда крепился так, чтобы широкие грани ячейки Хеле-Шоу были ориентированы параллельно штанге. Выберем систему координат так, чтобы ось z была перпендикулярна широким граням. В этой системе координат $\vec{\gamma}(\sin\beta\cos\alpha, \cos\beta, -\sin\beta\sin\alpha)$ – единичный вектор, направленный вертикально вверх (рис. 1). Полость целиком заполнена жидкостью и вращается с угловой скоростью $\Omega \vec{e}_{v}$ в плоскости, которая по причине несовершенства экспериментальной установки слегка наклонена под углом β к горизонту. В опытах величина угла наклона плоскости вращения контролировалась и не превышала 1°. Наклон плоскости вращения приводил в экспериментах к возникновению нежелательных эффектов, однако, как оказалось, полностью исключить этот фактор невозможно.

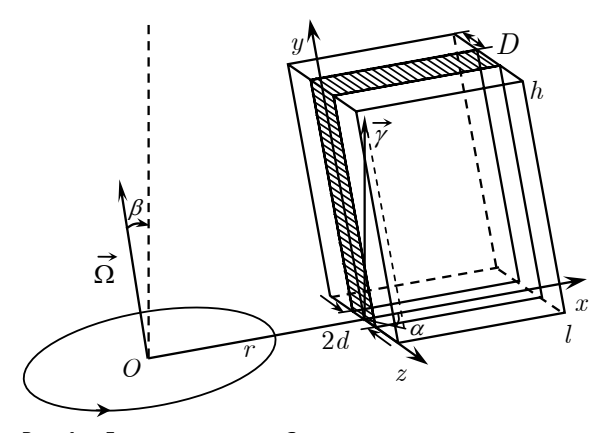


Рис. 1. Геометрия задачи. Система координат

Относительно конвекции в ячейке Хеле—Шоу отмечается высокая чувствительность характеристик течения к тепловым условиям на широких гранях [8], поэтому соответствующее краевое условие должно быть максимально реалистичным. Необходимость учета теплопроводности массива, прилегающего к широким граням, приводит к следующему граничному условию для отклонения температуры жидкости T от среднего по времени линейного профиля [9]:

$$z = \pm 1: \left. \frac{\partial T}{\partial z} \right|_{\Gamma} = -a(T - T_s), \tag{1}$$

где T_s — температура окружающей среды; $a=\lambda_m/\lambda_j D$ — коэффициент теплоотдачи.

В экспериментах конвективная камера имела высоту h=32 мм, ширину l=24 мм и толщину 2d=4 мм. В качестве рабочей жидкости был выбран гептан. Ранее в работах [6, 7] было показано, что физические свойства гептана заметно более предпочтительны при сравнении его с другими жидкостями. Широкие грани полости были окружены массивом из полиметилметакрилата (ПММА). Выберем за единицу длины полутолщину слоя. Тогда, для фактической толщины массива D=6 мм, коэффициентов теплопроводности гептана и ПММА $\lambda_r = 0.12 \text{ BT/(м·K)}, \lambda_m = 0.20 \text{ BT/(м·K)}$ коэффициент теплоотдачи в безразмерных единицах равен a=0,54. Оставшиеся условия для T на узких гранях не так сильно влияют на течение и могут быть приближенно взяты, соответственно, как для теплоизолированных и идеально теплопроводных стенок:

$$x = 0, L: \frac{\partial T}{\partial x}\Big|_{\Gamma} = 0; \quad y = 0, H: T = 0.$$
 (2)

В случае строго вертикального расположения оси вращения на элемент жидкости в рабочей камере действует центробежная сила с ускорением, приблизительно одинаковым для всей полости, т. к. r >> l. В неинерциальной системе отчета, связанной с кюветой, вектор результирующего ускорения $\vec{g} - \Omega[\Omega \times \vec{r}]$ подъемной силы, будучи постоянным по направлению и величине, лежит в плоскости широких граней. Результирующая массовая сила ориентирована к горизонту под некоторым углом, значение которого зависит от угловой скорости вращения. Меняя угловую скорость, можно плавно регулировать величину и направление подъемной силы. Если плоскость вращения слегка наклонена, то вектор \vec{g} в общем случае уже не параллелен широким граням. В системе отсчета, связанной с полостью, вектор $\vec{\gamma}$ прецессирует вокруг единичного орта \vec{e}_{v} . Строго говоря, это нарушает приближение плоских траекторий и должно приводить к появлению поперечной компоненты скорости. Однако в опытах угол наклона β был мал, а следовательно малы γ_x и γ_z . Прямой расчет течения в поперечном сечении, вызванного покачиванием вектора \vec{g} в плоскости (y, z), показал, что при амплитуде качаний 1° в полости

возникает длинноволновое колебательное движение, амплитуда скорости которого на два порядка меньше, чем те характерные скорости, которые имеют место в плоскости широких граней при пульсационном нагреве снизу. В результате эффектом прецессии вектора $\vec{\gamma}$ в дальнейшем будем пренебрегать, сохранив тем самым приближение плоских траекторий.

В ходе экспериментов обрабатывался сигнал, представляющий собой разность температур между симметричными спаями термопары вблизи нагревателя в зависимости от угловой скорости вращения. Определялась амплитуда сигнала и его среднее значение, отнесенные к разности температур между теплообменниками. Оказалось, что существует такое значение угловой скорости вращения $(\Omega \sim 1 \text{ 1/c})$, при котором как амплитуда, так и среднее значение разности температур имеют экстремум. Результатов термопарных измерений для объяснения этих ярко выраженных пиков на графиках оказалось недостаточно. Для получения полной картины было проведено численное моделирование конвективных течений в плоскости широких граней полости в математической постановке, наиболее близко отражающей натурный эксперимент.

Основные уравнения и методика расчета

Для теоретического описания конвективных течений будем использовать систему уравнений тепловой конвекции в приближении Буссинеска [4]. Особенности движения полости в совокупности с приближением Хеле-Шоу (h,l>>d) позволяют пренебречь влиянием силы Кориолиса на течение в плоскости широких граней. Для характерной скорости в плоскости широких граней $v\sim 1$ мм/с, плеча $r\sim500$ мм и угловой скорости $\Omega\sim1$ 1/с отношение кориолисовой силы к центробежной и силе тяжести равно $F_{\rm K}/F_{\rm II} = v/\Omega r \sim 2 \cdot 10^{-3}$; $F_{\rm K}/F_{\rm T} = v\Omega/g \sim 10^{-4}$. Оценка показывает, что действующая на течение сила Кориолиса пренебрежимо мала по сравнению с центробежной силой и практически не нарушает приближение плоских траекторий. Уравнения тепловой конвекции с учетом только центробежной силы в безразмерной форме имеют вид:

$$\frac{\partial \vec{\mathbf{v}}}{\partial t} + \frac{1}{\Pr} (\vec{\mathbf{v}} \nabla) \vec{\mathbf{v}} =
= -\nabla p + \Delta \vec{\mathbf{v}} + \operatorname{Ra} T \vec{\boldsymbol{\gamma}} + \operatorname{Ta} \vec{\Omega} \times [\vec{\Omega} \times \vec{r}] T, \tag{3}$$

$$\Pr \frac{\partial T}{\partial t} + (\vec{\mathbf{v}} \nabla)T = \Delta T, \text{ div } \vec{\mathbf{v}} = 0, \tag{4}$$

где \vec{v} , T, p — поля скорости, температуры и давления. При обезразмеривании выбирались следующие единицы: полутолщина полости d (длина), d/v (время), (скорость), Θ (температура), $\rho v^2/d$ (давление). Здесь Θ — средний по времени перепад температур на верхней и нижней гранях; ρ — плотность жидкости; v, χ — коэффициенты кинематической вязкости и температуропроводности. Си-

стема уравнений (3), (4) явно содержит три безразмерных параметра

$$Pr = v/\chi$$
, $Ra = g\beta_t \Theta d^3/v\chi$, $Ta = \beta_t \Theta \Omega^2 d^4/v\chi$,

соответственно, числа Прандтля, Рэлея и Тэйлора (g-ускорение силы тяжести, β_{l} — коэффициент теплового расширения). Дополнительными безразмерными параметрами в задаче являются длина полости L, высота H, угол β , характеризующий наклон плоскости вращения и коэффициент теплоотдачи a. Для скорости на границах полости будем использовать условие прилипания. На нижней границе полости поддерживается распределение температуры, меняющееся с течением времени по закону

$$T|_{v=0} = 2e^{-(x-L/2)^2} \sin^2(\omega t).$$

Эта зависимость моделирует пульсирующий с течением времени локальный подогрев, который создается точечным нагревателем в середине нижнего теплообменника. Такой нестационарный нагрев повышает чувствительность конвективной системы. Считается, что частота пульсаций температуры на нижней границе полости достаточно велика по сравнению с характерным временем рассасывания тепловых возмущений на широких боковых гранях. Далее в решении для температуры выделим осредненный линейный профиль, соответствующий подогреву снизу $T_0 = 1 - y/H$. Эта модель, скорее всего, оправдывается в реальных условиях и неоднородности профиля температуры на широких гранях не будут сильно отражаться на форме и динамике конвективного факела.

Ограничения на толщину ячейки позволяют использовать приближение плоских траекторий, поэтому дальнейшее рассмотрение будет проводиться на основе уравнений, записанных в терминах функции тока и температуры. Функция тока связана с компонентами скорости соотношениями $v_x = \partial \Psi/\partial y$, $v_y = -\partial \Psi/\partial x$. Зависимость функции тока от координаты z моделировалась тригонометрической функцией, чтобы удовлетворялось условие прилипания на широких гранях. Поле температуры описывалось суперпозицией базисных функций, характерных для двух предельных случаев: идеально теплопроводных и теплоизолированных широких граней (ниже T — отклонение температуры от осредненного линейного профиля):

$$\Psi(x, y, z, t) = \psi(x, y, t) \cos(\pi z/2),$$

$$T(x, y, z, t) = \theta(x, y, t) + \theta(x, y, t) \cos(\pi z/2),$$
(5)

где ψ , θ , θ — зависящие от времени амплитуды, характеризующие распределение полей функции тока и температуры в плоскости (x, y). Амплитуды θ и θ связаны между собой, т. к. выражение для температуры в (5) должно удовлетворять граничному условию (1). Разложения (5) подставлялись в исходную систему, после чего уравнения усреднялись по z в соответствии процедурой Галеркина. В терминах амплитуд вихря скорости φ , функции тока ψ и температуры θ эти уравнения имеют вид:

$$\frac{\partial \varphi}{\partial t} + \frac{8}{3\pi \Pr} \left(\frac{\partial \psi}{\partial y} \frac{\partial \varphi}{\partial x} - \frac{\partial \psi}{\partial x} \frac{\partial \varphi}{\partial y} \right) = \Delta_{1} \varphi - \frac{\pi^{2}}{4} \varphi -$$

$$-Ra \begin{bmatrix} \frac{4 \sin \beta}{\pi H} \cos \Omega t + \frac{2(2+a)}{\pi} \times \\ \times \left(\frac{\partial \theta}{\partial x} \cos \beta - \frac{\partial \theta}{\partial y} \sin \beta \cos \Omega t \right) \end{bmatrix}^{+}$$

$$+ r_{o} Ta \left[\frac{4}{\pi H} - \frac{2(2+a)}{\pi} \frac{\partial \theta}{\partial y} \right], \qquad (6)$$

$$\Pr \frac{\partial \theta}{\partial t} + \frac{2}{3\pi} \frac{(3\pi^{2} + 3\pi^{2} a + 8a^{2})}{(\pi^{2} + 8a + 2a^{2})} \times$$

$$\times \left(\frac{\partial \psi}{\partial y} \frac{\partial \theta}{\partial x} - \frac{\partial \psi}{\partial x} \frac{\partial \theta}{\partial y} \right) = \Delta_{1} \theta - \frac{\pi(2+a)}{(\pi^{2} + 8a + 2a^{2})} \times$$

$$\times \frac{\partial \psi}{\partial x} - \frac{a(2+a)\pi^{2}}{2(\pi^{2} + 8a + 2a^{2})} \theta, \qquad (7)$$

где r_o — безразмерное плечо, $\varphi = \Delta_1 \psi$, Δ_1 — плоский оператор Лапласа. Уравнения (6), (7) совместно с граничными условиями (2) образуют краевую задачу. В предельных случаях $a \rightarrow \infty$ и $a \rightarrow 0$ имеем переходы, соответственно, к идеально теплопроводным и теплоизолированным широким граням.

Расчеты проводились методом конечных разностей по явной схеме. Компьютерный модуль был написан на языке программирования Fortran-90. Задача решалась в переменных ψ и ϕ , т. е. использовался двухполевой метод [10]. Основные расчеты выполнялись на сетке 51:41. При составлении конечно-разностного аналога уравнений тепловой конвекции пространственные производные аппроксимировались центральными разностями, а производные по времени - односторонними. Значения вихря на границах полости находились по формулам Тома, которые получались разложением функции тока в ряд Тейлора в приграничной точке с точностью до квадратичных членов. Уравнение Пуассона для поля функции тока решалось методом простых итераций. В ходе расчетов использовался метод установления; определялись мгновенные значения полей ψ и T, находились максимальное и минимальное значения функций тока. Для моделирования показаний термопар в трех узлах с координатами (26,32), (18,16) и (34,16) определялась температура, и анализировалась амплитудно-частотная характеристика временной зависимости $\delta(t) = T(34,16) - T(18,16)$.

Обсуждение результатов

Для сопоставления результатов численного моделирования и экспериментальных данных безразмерные параметры принимали значения, наиболее близкие к действительности: Pr=6,9 (гептан), L=12, H=16, $r_0=500$. Угол β , определяющий наклон плоскости вращения к горизонту и характеризующий несовершенство экспериментальной установки, в соответствии с оценками лежал в интервале 0...2°. Частота пульсаций нагревателя ограничивалась сверху естественным временем кондуктивноконвективного теплоотвода, и при пересчете в безразмерные единицы для нее была установлена величина ω =0,17. Средняя по времени разность температур между верхним и нижним теплообменниками была равна Θ =0,9 °C, что соответствовало числу Рэлея Rа≈190. Угловая скорость вращения менялась в диапазоне $\Omega = 0,3...1,3$, обуславливая верхнюю границу значений для числа Тэйлора Ta<0,05.

При строго вертикальном положении полости в отсутствие вращения конвективный факел над нагревателем характеризуется лево-правой симметрией. Приведение системы во вращение нарушает симметрию полей скорости и температуры: за счет действия центробежной силы теплый конвективный факел наклоняется в плоскости широких граней в сторону оси вращения. В дополнение небольшой наклон плоскости вращения создает колыхания конвективного факела вблизи среднего отклонения. На рис. 2 представлены поля функции тока (a, e) и температуры (b, e) в фиксированный момент времени для угла наклона плоскости вращения $\beta=1^{\circ}$. В случае кратных частот возможен параметрический резонанс, однако в эксперименте подобные ситуации специально не рассматривались. Две частоты ω и Ω в общем случае считались несоизмеримыми. С другой стороны, в случае

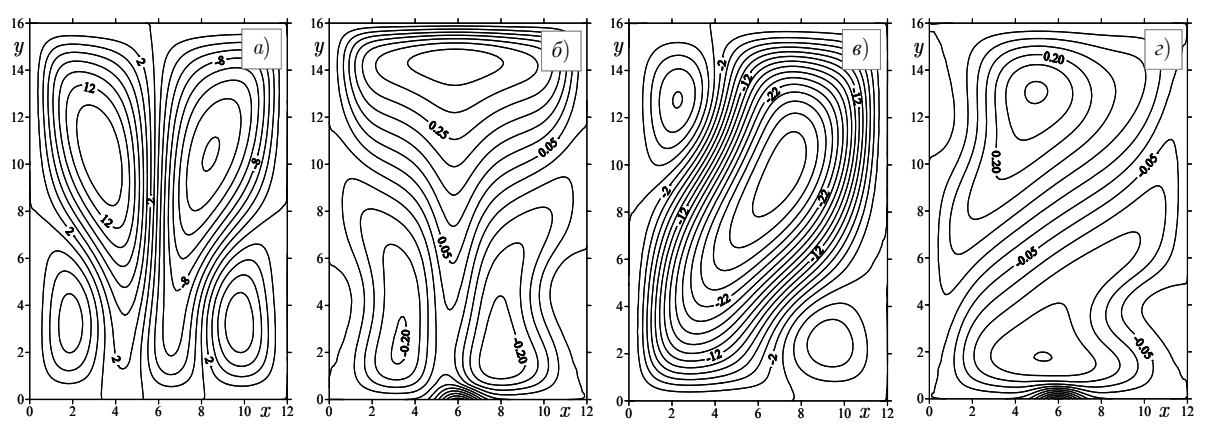


Рис. 2. Поля функции тока и температуры при Ω =0,4 (a, б) и Ω =1,2 (в, г) для a=0,54

a=0 в расчетах для кратных частот при Ω =0,51 и Ω =0,68 (Ω_1 =3 ω , Ω_2 =4 ω) была зафиксирована смена режима колебаний, сопровождавшаяся резким изменением характеристик течения (пики на рис. 3, δ). Если значения частот сопоставимы, но несоизмеримы, то в системе наблюдается сложное колебательное движение. Разность температур в двух симметричных точках $\delta(t)$ совершает колебания с усредненной амплитудой A вблизи некоторой среднего значения $\langle \delta(t) \rangle$. Фурье-анализ временной зависимости $\delta(t)$ показывает, что наибольшей амплитудой обладает гармоника с частотой 2ω .

Сначала при увеличении угловой скорости вращения амплитуда A и среднее значение $\langle \delta(t) \rangle$ начинают быстро расти по модулю (рис. 3). Отсутствие гладкости у графиков, наблюдающееся в большей степени в теории, и менее заметное в эксперименте, имеет несколько причин. Во-первых, начальная фаза состояния нагревателя по отношению к положению кюветы не контролировалась в эксперименте и поэтому случайным образом выбиралась в расчетах, т. е. отслеживались в определенном смысле осредненные эффекты, не зависящие от момента начального приготовления системы. Как следствие при моделировании этой ситуации колебания, складываясь в разных фазах, дают немонотонное изменение амплитуды с ростом Ω . Во-вторых, применительно к сложному колебательному процессу имела место значительная ошибка при вычислении A и $\langle \delta(t) \rangle$ за счет грубости алгоритма определения этих величин. Также, вследствие больших характерных тепловых и гидродинамических времен релаксации в ячейке Хеле-Шоу могло наблюдаться некоторое неустановление колебательного режима.

Несмотря на наличие трудноустранимых погрешностей, из рис. 3 отчетливо видно, что при достижении некоторой частоты A и $\langle \delta(t) \rangle$ графики для a=0,54 и 0 имеют ярко выраженные максиму-

мы. Визуализация полей показывает, что при этой частоте происходит смена конвективного течения. Центробежная сила становится настолько большой, что конвективный факел опрокидывается, и в полости устанавливается трехвихревое колебательное течение (рис. 2, β) с одним большим вихрем, занимающим всю центральную часть полости и простирающимся по диагонали из левого нижнего в правый верхний угол. Наряду с главным вихрем в левом верхнем и правом нижнем углах полости всегда существуют два сателлитных вихря меньших размеров с противоположной закруткой. Условия смены конвективного режима определяются многими факторами, в том числе углом наклона плоскости вращения. Однако в первую очередь опрокидывание конвективного факела зависит от угловой скорости вращения. В предельном случае β =0° циклическая частота Ω исчезает из краевой задачи (6), (7), (2), в результате чего колебания в значительной степени регуляризуются. Тем не менее, качественно зависимости A и $\langle \delta(t) \rangle$ от Ω остаются прежними, т. е. при определенной частоте эти графики имеют ярко выраженный максимум, который свидетельствует о смене конвективного режима.

Сравнение опытных данных и результатов численного моделирования проводилось по следующим признакам: наличие максимумов у зависимостей A и $\langle \delta(t) \rangle$, совпадение A и $\langle \delta(t) \rangle$ с экспериментальными значениями по величине и близость расчетной частоты к экспериментальному критическому значению, при котором происходит смена режима. Зависимости A и $\langle \delta(t) \rangle$ для a=0,54 и 0 (ПММА и теплоизолированные широкие грани) демонстрируют хорошее согласие с опытом. По выше перечисленным характеристикам они приблизительно одинаковы и значительно дистанцируются от другой группы графиков для a=110 (сталь) и a— ∞ . В случае идеально и высоко тепло-

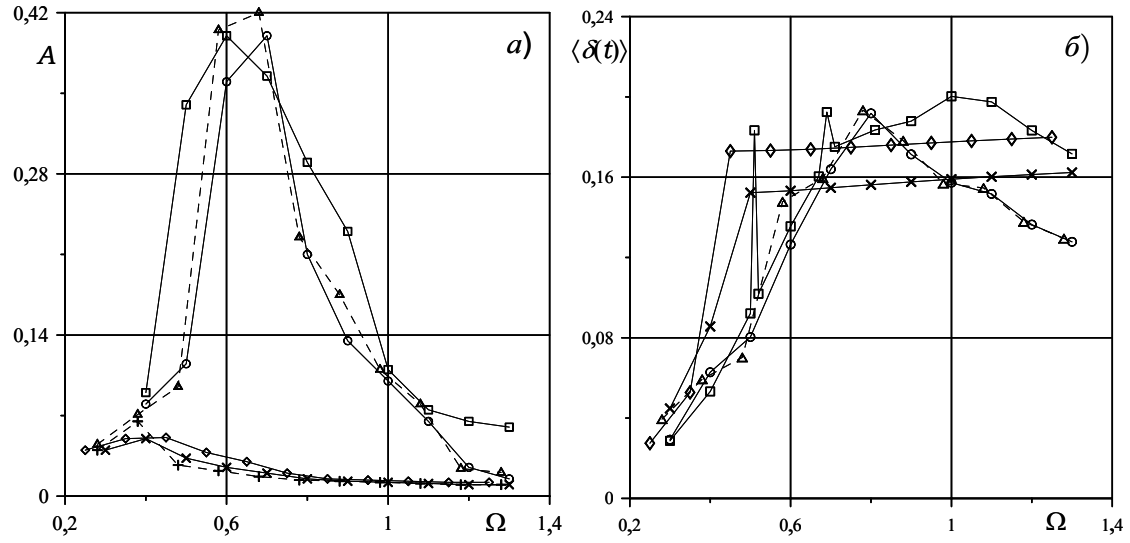


Рис. 3. Амплитуда A и среднее значение $\langle \delta(t) \rangle$ в зависимости от частоты Ω ; $\beta=1^\circ$: \Diamond , \Diamond – a=0,54 (ПММА), 110 (сталь); \Box , \times – $a=0,\infty$; $\beta=0^\circ$: \triangle , + – a=0,54, 110

проводных широких граней, характерный максимум на графике $\langle \delta(t) \rangle$ отсутствует. На теплопроводных широких гранях все возмущения быстро рассасываются. По этой причине амплитуда колебаний разности температур в жидкости лежит значительно ниже, чем для a=0 или 0,54.

Иными словами, широкие грани ПММА, в роли регулятора конвективного движения, по своим свойствам находятся значительно ближе к теплоизолированным, чем к идеально теплопроводным стенкам. С другой стороны, для теплоизолированных широких граней на графике $\langle \delta(t) \rangle$, в отличие от реалистичного случая a=0,54 на резонансных частотах, отчетливо видна смена конвективного режима (пики на рис. 3, δ). Конвективная система в случае теплоизолированных широких граней более чувствительна к различного рода тепловым возмущениям, которые не рассасываются на стенках, а, напротив, развиваются на фоне периодического воздействия во вторичный колеба-

СПИСОК ЛИТЕРАТУРЫ

- Бубнов Б.М., Голицын Г.С. Конвективные режимы во вращающейся жидкости // Доклады АН СССР. — 1985. — Т. 281. — № 3. — С. 552—555.
- Бердников В.С., Захаров В.П., Марков В.А. Тепловая гравитационно-центробежная конвекция в подогреваемом снизу слое жидкости // Инженерно-физический журнал. – 2001. – Т. 74. – № 4. – С. 111–115.
- Ингель Л.Х. Конвекция во вращающейся среде над термически неоднородной горизонтальной поверхностью // Известия РАН. Механика жидкости и газа. – 2008. – № 6. – С. 25–35.
- 4. Гершуни Г.З., Жуховицкий Е.М. Конвективная устойчивость несжимаемой жидкости. М.: Наука, 1972. 392 с.
- Бабушкин И.А., Богатырев Г.П., Глухов А.Ф., Путин Г.Ф., Авдеев С.В., Бударин Н.М., Иванов А.И., Максимова М.М. Изучение тепловой конвекции и низкочастотных микроускорений на Орбитальном комплексе «Мир» с помощью датчика «Дакон» // Космические исследования. 2001. Т. 32. № 2. С. 150—158.

тельный режим. При a=0.54 метод продолжения по параметру дает возможность избежать развития вторичного колебательного течения даже при точном попадании на резонансную частоту, что хорошо согласуется с экспериментом.

Выводь

По совокупности признаков результаты расчетов, учитывающие специфику материала, из которого изготовлены широкие грани, наиболее адекватно отражают картину конвективных течений и перестройку режимов в ячейке Хеле—Шоу. Выбранная теоретическая модель может использоваться для описания конвекции и теплопереноса в рабочей камере датчика. Показано, что геометрия полости позволяет использовать физические возможности центробежной силы для управления тепломассопереносом при имитации действия продолжительных по времени и постоянных по величине инерционных сигналов.

- Бабушкин И.А., Глухов А.Ф., Демин В.А., Дягилев Р.А., Маловичко Д.А. Сейсмоприемник на основе ячейки Хеле–Шоу // Прикладная физика. 2008. № 3. С. 134–140.
- Бабушкин И.А., Демин В.А., Пепеляев Д.В. Принципы регистрации инерционных сигналов с помощью конвективных датчиков // Известия Томского политехнического университета. 2010. Т. 317. № 4. С. 38–43.
- Бабушкин И.А., Демин В.А. Вибрационная конвекция в ячейке Хеле-Шоу. Теория и эксперимент // Прикладная механика и техническая физика. – 2006. – № 2. – С. 40–48.
- Мызникова Б.Й. Численное исследование надкритических режимов тепловой конвекции в ячейке Хеле—Шоу при подогреве снизу // Исследование тепловой конвекции и теплопередачи. Свердловск: УНЦ АН СССР. 1981. С. 23—31.
- Тарунин Е.Л. Вычислительный эксперимент в задачах свободной конвекции. Иркутск: Изд-во Иркут. ун-та, 1990. 225 с.

Поступила 02.02.2011 г.